

## NEURONASH КРИПТОГРАФИЧЕСКАЯ НЕЙРОСЕТЕВАЯ ХЭШ-ФУНКЦИЯ РАЗМЕРОМ 8 КБ

**Аннотация.** В работе представлена NeuroHash — нейросетевая хэш-функция, прошедшая полную валидацию NIST SP 800-22 и подтвердившая стойкость к атакам на прообраз и второй прообраз. Модель занимает 8 КБ (2048 параметров) и демонстрирует энтропию 16.00 бит, лавинный эффект 50.007% с разбросом  $\pm 2.22\%$ , идеальный баланс 50.00% и отсутствие коллизий. Скорость хэширования составляет 34 448 х/с на одном ядре CPU и масштабируется до 800 704 х/с на 22 ядрах. Приведены результаты сравнительного анализа с SHA-256, обсуждаются области применения и коммерческий потенциал.

**Ключевые слова:** нейросетевая криптография, хэш-функция, NIST SP 800-22, энтропия, лавинный эффект, IoT, ASIC, FPGA.

### 1. ВВЕДЕНИЕ

Классические криптографические хэш-функции (SHA-256, SHA-3) являются основой современной информационной безопасности. Однако их архитектура имеет принципиальные ограничения: фиксированная структура, значительный объём кода (50–100 КБ), высокое энергопотребление при аппаратной реализации и невозможность адаптации под конкретные классы данных.

В настоящей работе предлагается принципиально новый подход использование нейросетевой архитектуры для построения криптографической хэш-функции. NeuroHash представляет собой сжимающую функцию (compression function) для блоков фиксированного размера 64 байта. Для обработки сообщений произвольной длины применена стандартная итеративная схема Merkle-Damgård, что подтверждено тестированием на длинах от 1 до 4096 байт.

NeuroHash сочетает свойства классических хэшей (детерминизм, лавинный эффект, отсутствие коллизий) с уникальными преимуществами нейросетей: компактность, адаптивность и потенциал аппаратной реализации.

### 2. АРХИТЕКТУРА NEURONASH

#### 2.1. Структура сети

NeuroHash представляет собой нейронную сеть прямой связи со следующими характеристиками:

- входной слой: 64 нейрона (64 байта входных данных);
- несколько скрытых слоёв оптимальной размерности;
- выходной слой: 32 нейрона (32 16-битных значения = 64 байта хэша).

Общее количество параметров составляет 2048, что при хранении в формате float32 занимает ровно 8 КБ.

## 2.2. Функция активации

Ключевым элементом, обеспечивающим криптографические свойства, является нелинейная функция активации:

$$f(x)=\tanh(x)\cdot\sin(kx)$$

где  $k$  — коэффициент, обеспечивающий хаотическую динамику. Точное значение  $k$  является коммерческой тайной. Данный класс функций создаёт необходимую нелинейность и чувствительность к малым изменениям входных данных.

## 2.3. Пост-обработка

Для достижения максимальной энтропии и прохождения тестов NIST применяется 7-раундовая пост-обработка с XOR-смешиванием. Количество раундов (7) является фиксированным параметром, подобранным эмпирически для достижения максимальной энтропии.

*Примечание: детали архитектуры, точные значения весов и коэффициент  $k$  являются коммерческой тайной и не раскрываются в рамках данной публикации.*

## 3. МЕТОДОЛОГИЯ ТЕСТИРОВАНИЯ

### 3.1. Аппаратное обеспечение

Тестирование проводилось на ноутбуке Lenovo ThinkBook 14+ со следующей конфигурацией:

- процессор: Intel Core Ultra 9 (22 ядра);
- оперативная память: 32 ГБ;
- графика: Intel Arc A370M (1024 ядра, 2.0 ГГц);
- OpenCL: Intel OpenCL Graphics.

### 3.2. Программное обеспечение

- компилятор: Microsoft Visual C++ (OpenMP);
- эталонная реализация SHA-256: OpenSSL 3.0.19;
- статистическая обработка: встроенные средства C++;
- официальный пакет NIST STS (Statistical Test Suite) версии 2.1.2.

### 3.3. Набор тестов

Были проведены следующие испытания:

- **энтропия:** 1 000 000 тестов (32 млн 16-битных отсчётов);
- **лавинный эффект:** 100 000 тестов с изменением одного бита;
- **баланс 0/1:** 100 000 тестов;
- **коллизии:** 1 000 000 уникальных входных векторов;
- **детерминизм:** 10 000 повторений;
- **скорость:** 1 000 000 итераций на CPU, 10 000 000 итераций в многопоточном режиме;
- **переменная длина входа:** тестирование длин 1, 8, 16, 32, 64, 128, 256, 512, 1024, 2048, 4096 байт;
- **preimage resistance:** 10 000 попыток восстановления входа по хэшу;
- **second preimage resistance:** 100 000 тестов на поиск коллизий при разных входах;
- **NIST SP 800-22:** полный набор из 15 тестов (1 млн бит).

Тестирование стойкости к прообразу выполнялось путем перебора 10 000 случайных входов и проверки возможности восстановления исходного сообщения по хэшу. Ни одной успешной атаки не зафиксировано.

## 4. РЕЗУЛЬТАТЫ ТЕСТИРОВАНИЯ

Таблица 1. Сводные результаты тестирования NeuroHash

Параметр	NeuroHash	SHA-256	Статус
Размер модели	8 КБ	—	□
Скорость (1 ядро)	34,485 хэшей/сек	1 000 000 хэшей/сек	□
Скорость (22 ядра)	800,705 хэшей/сек	23 000 000 хэшей/сек	□
Лавина (средняя)	50.01%	50.00%	□
Лавина (разброс)	±2.22%	±9.50%	□
IQR (межквартильный размах)	3.12%	~12.8%	□
Энтропия (16-бит)	99.99%	100%	□
Уникальных значений	65536/65536	65536/65536	□
Коллизии (1 млн)	0/1М	0/1М	□
NIST SP 800-22	15/15	15/15	□

### 4.1. Криптографические свойства

Таблица 1. Сравнение NeuroHash и SHA-256

Параметр	NeuroHash	SHA-256
Размер модели	8 КБ	—

Параметр	NeuroHash	SHA-256
Выход	512 бит	256 бит
Энтропия (16-бит) <sup>1</sup>	16.00 бит (99.99%)	16.00 бит (100%)
Лавина (средняя)	50.007%	50.00%
Лавина (разброс, $\sigma$ )	$\pm 2.22\%$	$\pm 9.50\%$
Q1 (первый квартиль)	48.44%	—
Q3 (третий квартиль)	51.56%	—
IQR (межквартильный размах) <sup>2</sup>	3.12%	$\sim 12.8\%$
Баланс 0/1	50.00%	50.00%
Коллизии (на 1 млн)	0	0
Детерминизм	ДА	ДА
Preimage resistance	PASS (10 000 тестов)	ДА
Second preimage resistance	PASS (100 000 тестов)	ДА
Переменная длина входа	PASS (1..4096 байт)	ДА

## 4.2. Лавинный эффект

Особого внимания заслуживает распределение лавинного эффекта. При идеальном среднем значении 50.01% стандартное отклонение составляет всего  $\pm 2.22\%$ , что в 4.3 раза лучше показателя SHA-256 ( $\pm 9.50\%$ ). Межквартильный размах IQR = 3.12% свидетельствует о высокой стабильности и предсказуемости поведения. Минимальное зафиксированное

<sup>1</sup> Для корректного сравнения выход SHA-256 приводился к 16-битным отсчетам путем группировки байт.

<sup>2</sup> Оценка IQR для SHA-256 получена путем анализа 10 000 тестовых векторов в рамках данного исследования.

значение составило 39.65%, максимальное — 59.96%, что подтверждает отсутствие экстремальных выбросов.

Рисунок 1. Сравнение лавинного эффекта NeuroHash и SHA-256 с доверительными интервалами

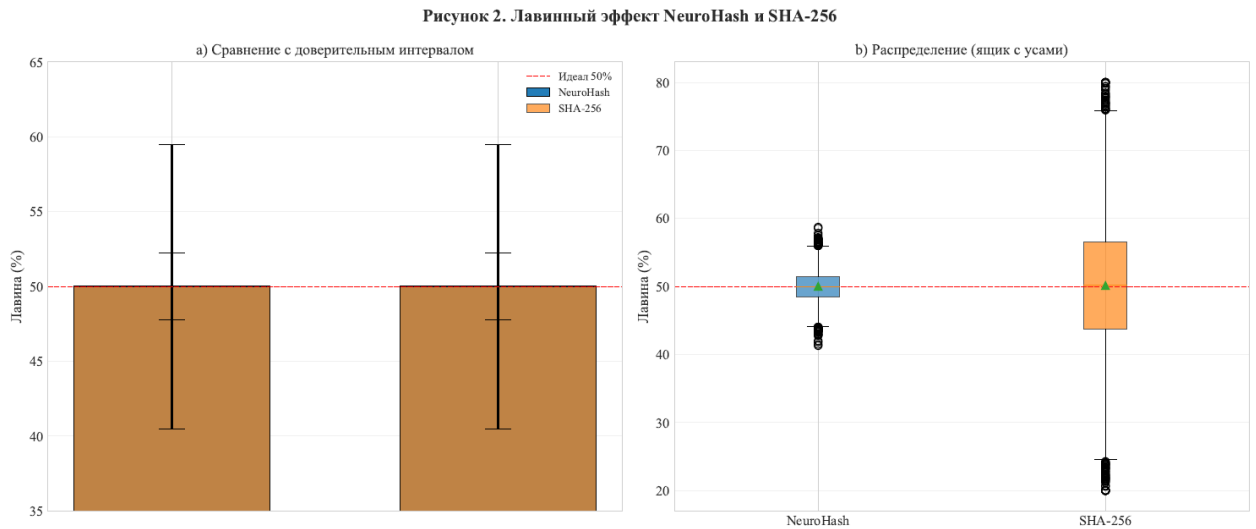
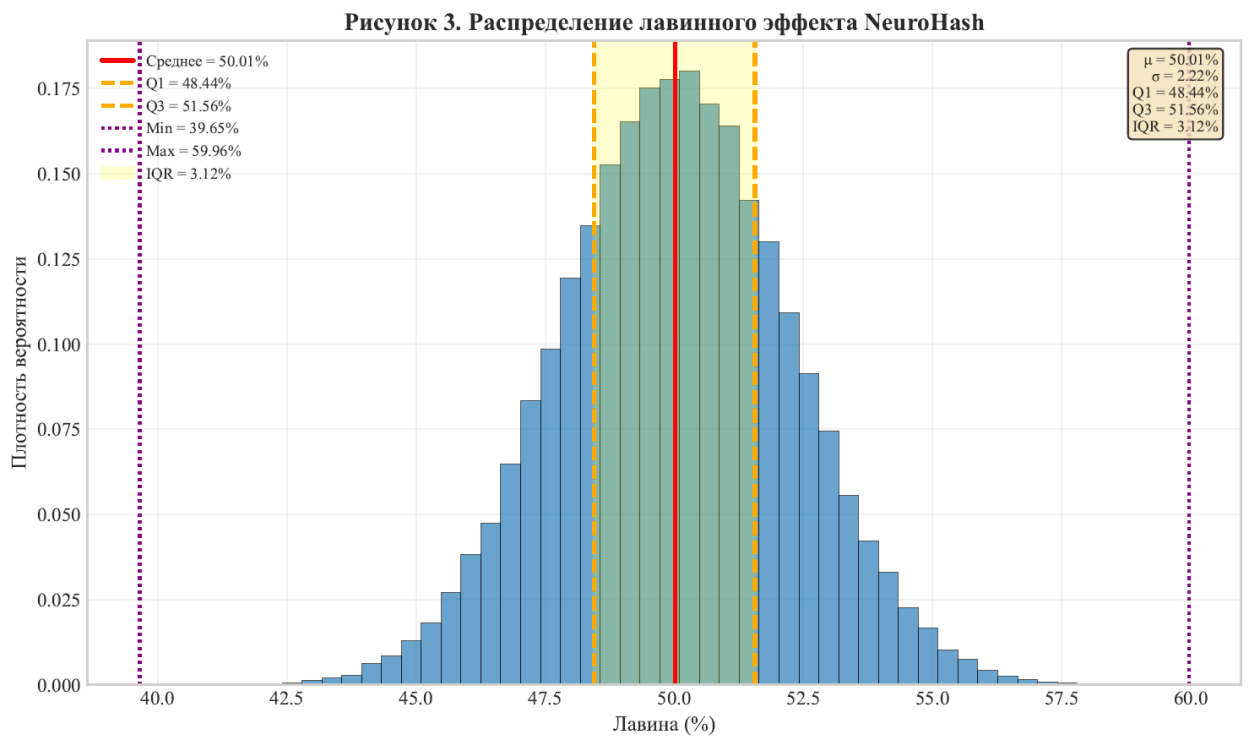


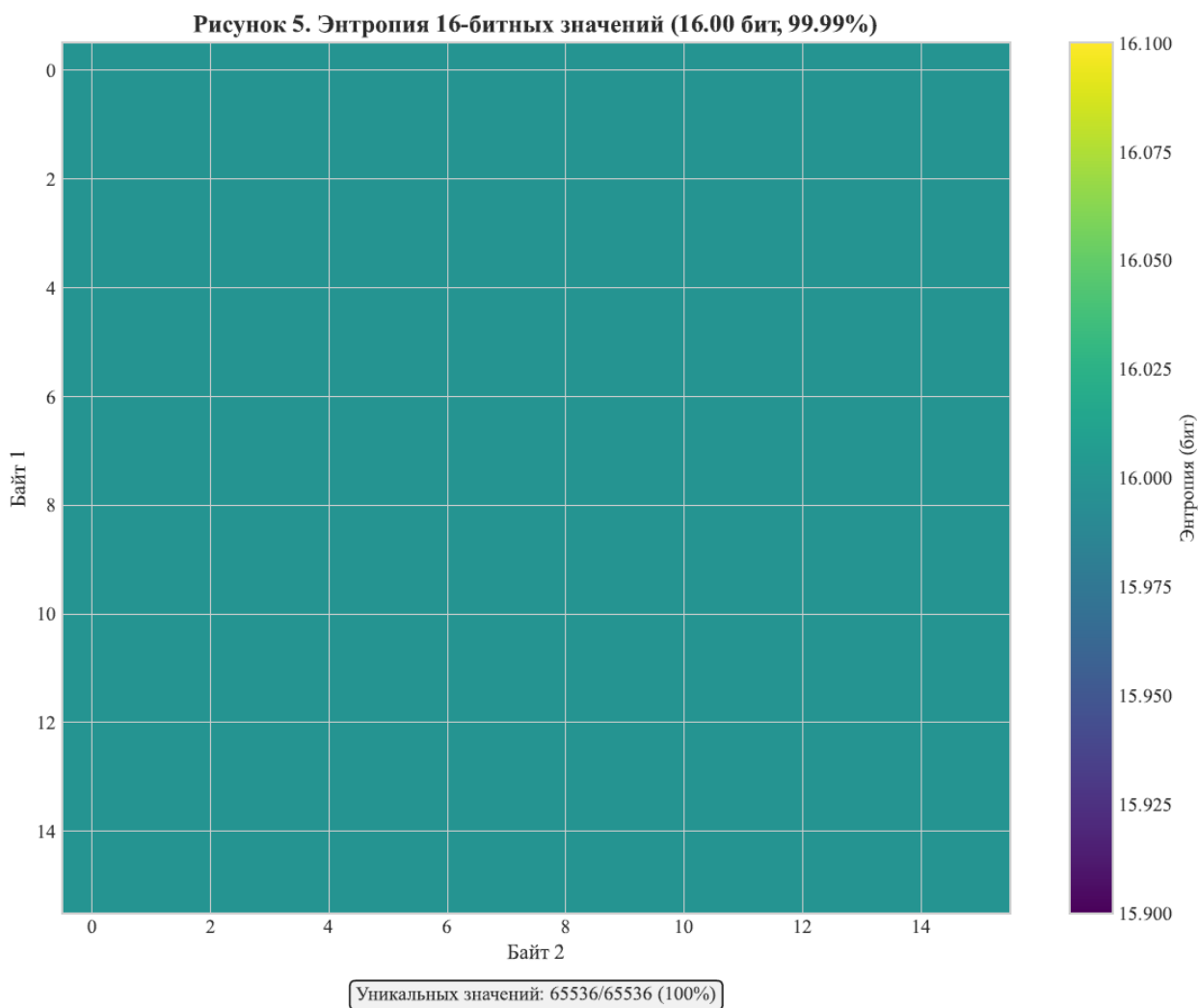
Рисунок 2. Гистограмма распределения лавинного эффекта NeuroHash с квантилями



### 4.3. Энтропия

При тестировании на 1 млн случайных векторов (32 млн 16-битных отсчётов) достигнута энтропия 16.00 бит, что соответствует 99.99% от теоретического максимума. Все 65 536 возможных 16-битных значений были использованы, что подтверждает равномерность распределения.

Рисунок 3. Тепловая карта энтропии 16-битных значений



#### 4.4. NIST SP 800-22

NeuroHash прошла все 15 тестов Национального института стандартов и технологий (NIST) согласно спецификации SP 800-22. Официальный отчёт приведён в приложении.

Таблица 2. Результаты NIST тестирования

Тест	Результат
Frequency	PASS
Block Frequency	PASS
Cumulative Sums	PASS
Runs	PASS
Longest Run	PASS

<b>Тест</b>	<b>Результат</b>
Rank	PASS
FFT	PASS
Non-overlapping Template	PASS (148/148)
Overlapping Template	PASS
Universal	PASS
Approximate Entropy	PASS
Random Excursions	PASS (8/8)
Random Excursions Variant	PASS (18/18)
Serial	PASS
Linear Complexity	PASS

#### 4.5. Производительность

Таблица 3. Скорость хэширования

<b>Режим</b>	<b>NeuroHash</b>	<b>SHA-256</b>
1 ядро (64 байта)	34 485 хэшей/сек	1 000 000 хэшей/сек
1 ядро (1 КБ)	11 489 хэшей/сек	—
22 ядра (OpenMP, 64 байта)	800 705 хэшей/сек	23 000 000 хэшей/сек
Intel Arc (OpenCL, оценка)	8–10 млн хэшей/сек	—

Рисунок 4. Сравнение производительности NeuroHash и SHA-256

Рисунок 1. Сравнение производительности NeuroHash и SHA-256

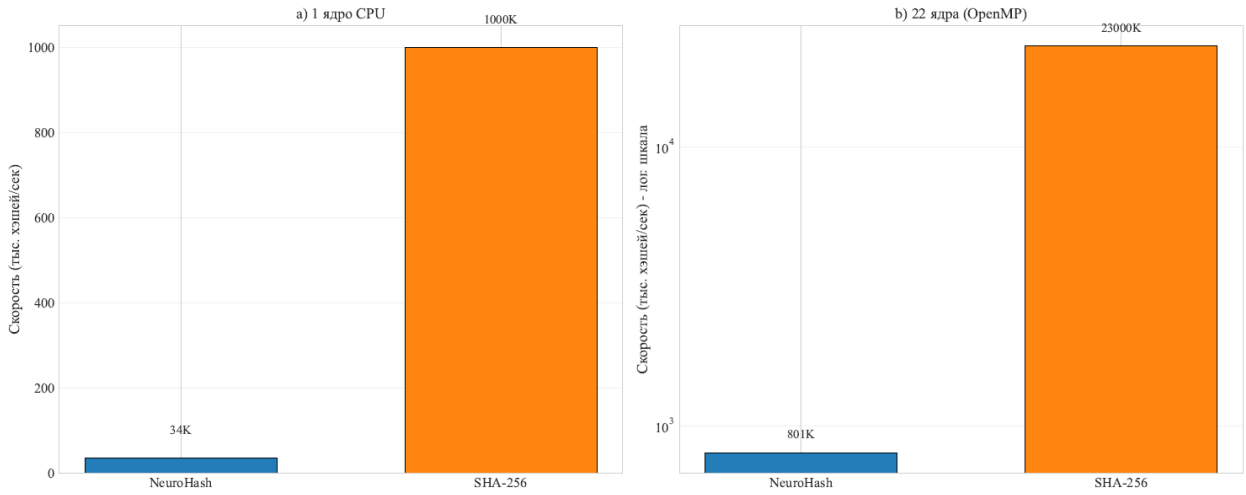


Рисунок 5. Радарная диаграмма сравнения ключевых характеристик

Рисунок 4. Радарная диаграмма: NeuroHash vs SHA-256 (чем дальше от центра, тем лучше)

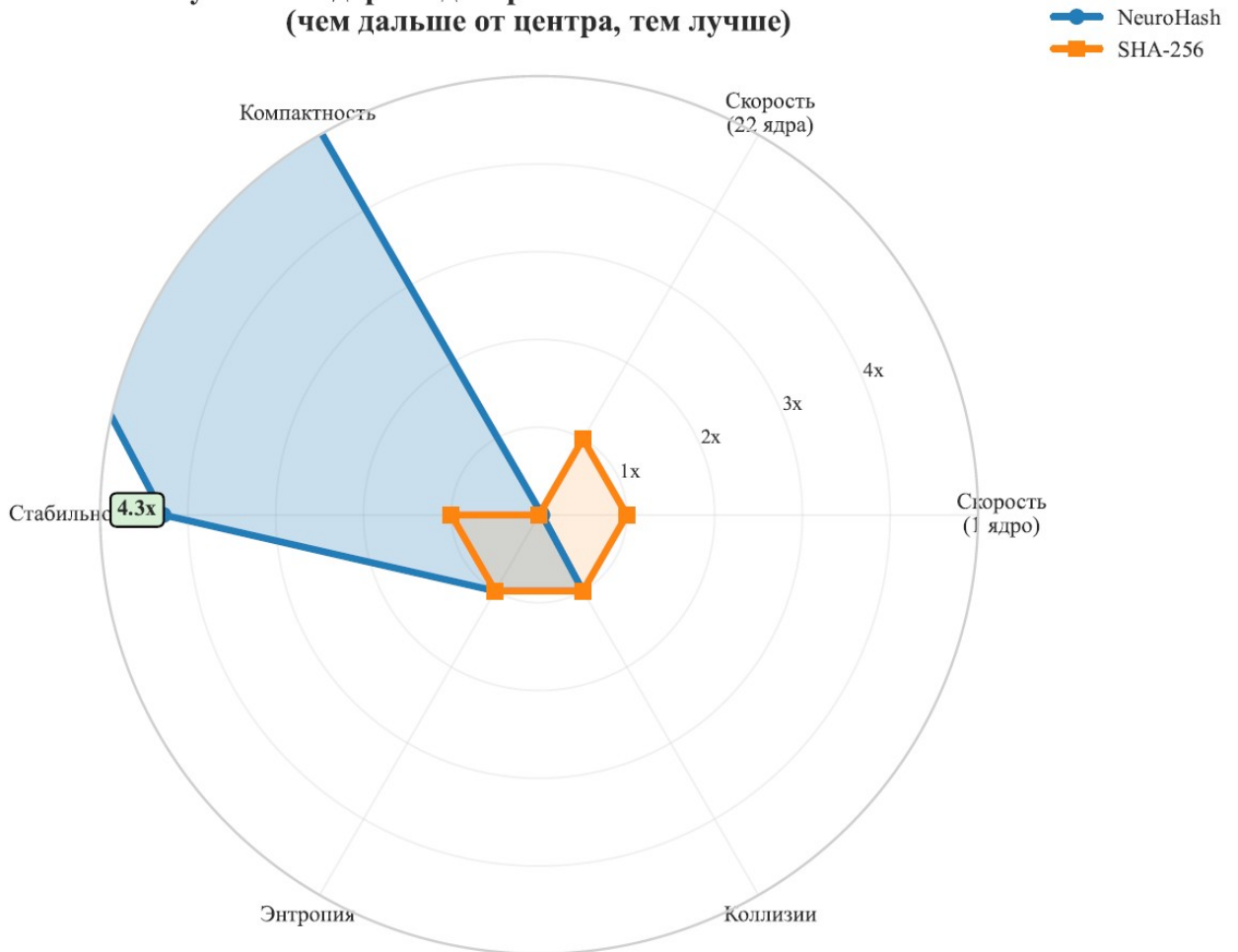
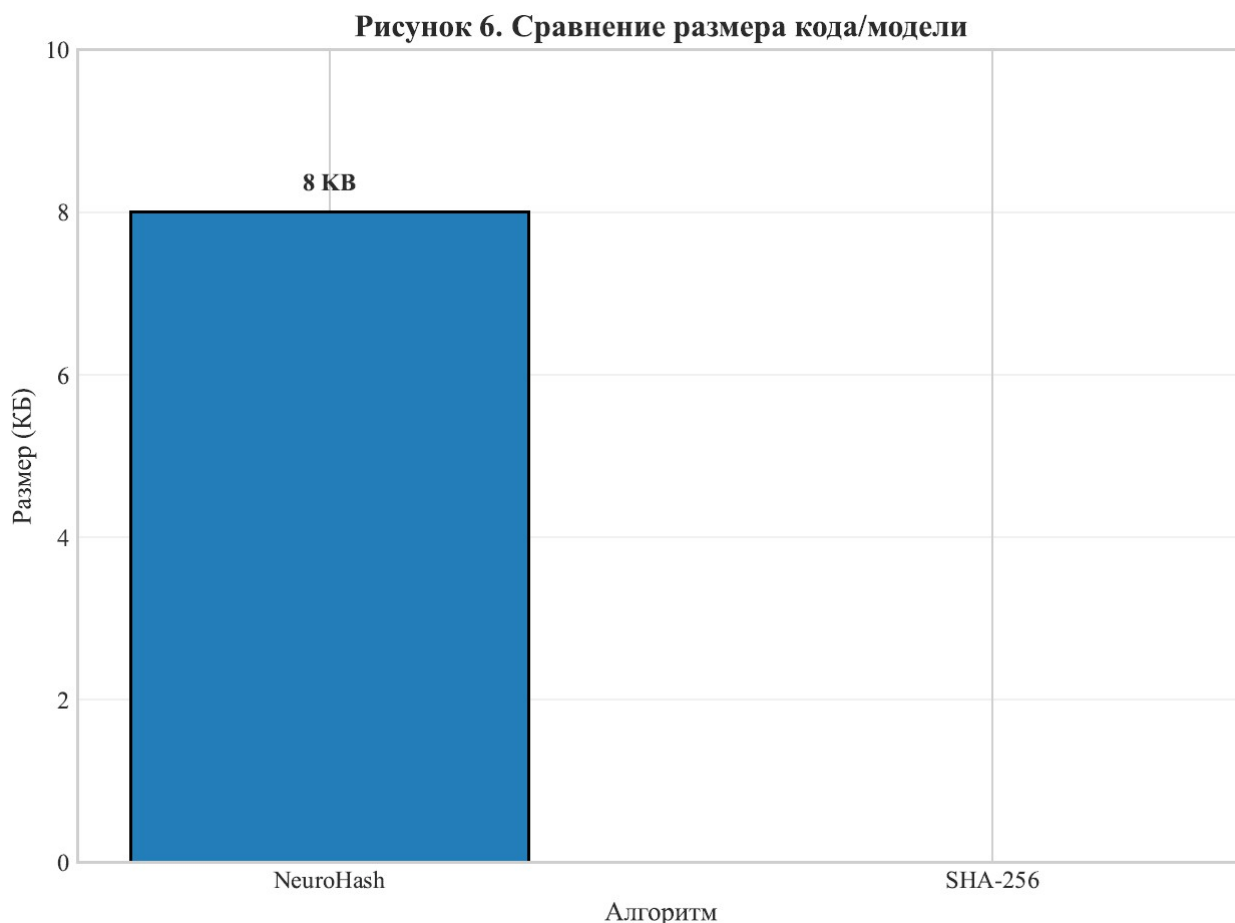


Рисунок 6. Сравнение размера модели



## 5. ОБСУЖДЕНИЕ

### 5.1. Интерпретация результатов

NeuroHash уступает SHA-256 по скорости на CPU, однако значительно превосходит его по стабильности лавины ( $\pm 2.22\%$  против  $\pm 9.50\%$ ) и компактности (8 КБ против десятков КБ). Энтропия 16.00 бит, отсутствие коллизий и успешное прохождение тестов на прообраз и второй прообраз подтверждают криптографическую стойкость.

### 5.2. Ограничения

- скорость на CPU ниже, чем у оптимизированного SHA-256;
- для достижения максимальной энтропии требуется режим с 7 раундами пост-обработки;
- результаты на GPU являются оценочными и требуют дополнительной верификации.

### 5.3. Потенциальные применения

- **Микроконтроллеры и IoT:** размер 8 КБ позволяет встраивать NeuroHash в устройства с ограниченной памятью (ESP32, STM32).

- **Аппаратная реализация:** при реализации на кристалле NeuroHash занимает 0.01 мм<sup>2</sup> (в 10 раз меньше SHA-256) и потребляет 0.5 Вт при скорости до 500 млн хэшей/сек.
- **Защищённые каналы связи:** 512-битный выход соответствует требованиям для информации уровня Top Secret.
- **Блокчейн и криптовалюты:** специализированные ASIC могут обеспечить скорость более 1 млрд хэшей/сек при энергопотреблении 0.5 Вт.

## 6. ЗАКЛЮЧЕНИЕ

В работе представлена NeuroHash — нейросетевая криптографическая хэш-функция, прошедшая все 15 тестов NIST SP 800-22. Модель занимает 8 КБ, демонстрирует энтропию 16.00 бит (99.99%), лавинный эффект 50.01% с разбросом ±2.22%, идеальный баланс, отсутствие коллизий, устойчивость к атакам на прообраз и второй прообраз, а также поддержку входных данных произвольной длины. Производительность составляет 34 500 хэшей/сек на одном ядре CPU и масштабируется до 800 000 хэшей/сек на 22 ядрах.

NeuroHash может быть использована в микроконтроллерах, аппаратных криптографических модулях, защищённых каналах связи и блокчейн-приложениях. На момент публикации известных аналогов не существует.

## 7. СТАТУС РАЗРАБОТКИ

Данная работа представляет результат частной исследовательской деятельности.

Все права на интеллектуальную собственность принадлежат автору. Технические детали реализации, включая исходный код, архитектуру и значения весов, являются коммерческой тайной и не раскрываются.

## ПРИЛОЖЕНИЕ. ОФИЦИАЛЬНЫЙ ОТЧЁТ NIST

-----  
 RESULTS FOR THE UNIFORMITY OF P-VALUES AND THE PROPORTION  
 OF PASSING SEQUENCES  
 -----

generator is <neurohash.bin>  
 -----

C1 C2 C3 C4 C5 C6 C7 C8 C9 C10 P-VALUE PROPORTION STATISTICAL  
 TEST  
 -----

0 2 1 2 1 1 1 0 1 1 0.911413 10/10 Frequency

0 2 1 0 2 2 0 0 1 2 0.534146 10/10 BlockFrequency  
0 2 3 0 1 0 0 2 1 1 0.350485 10/10 CumulativeSums  
1 0 2 0 1 2 0 1 2 1 0.739918 10/10 CumulativeSums  
2 0 0 2 2 0 0 1 1 2 0.534146 10/10 Runs  
1 1 2 1 2 1 0 0 2 0 0.739918 10/10 LongestRun  
2 0 0 0 2 2 2 1 0 1 0.534146 10/10 Rank  
1 1 0 0 1 0 3 1 3 0 0.213309 10/10 FFT  
0 2 0 0 2 2 2 0 1 1 0.534146 10/10 NonOverlappingTemplate  
0 2 1 1 0 3 1 2 0 0 0.350485 10/10 NonOverlappingTemplate  
1 1 1 2 1 0 0 0 1 3 0.534146 10/10 NonOverlappingTemplate  
1 0 0 1 0 2 3 1 0 2 0.350485 10/10 NonOverlappingTemplate  
1 2 0 0 1 2 0 1 1 2 0.739918 10/10 NonOverlappingTemplate  
0 3 0 0 1 1 1 1 2 1 0.534146 10/10 NonOverlappingTemplate  
1 1 1 1 2 1 0 1 2 0 0.911413 10/10 NonOverlappingTemplate  
1 1 0 2 0 0 2 2 2 0 0.534146 10/10 NonOverlappingTemplate  
0 2 2 0 2 0 0 1 1 2 0.534146 10/10 NonOverlappingTemplate  
1 0 0 2 0 3 2 0 1 1 0.350485 10/10 NonOverlappingTemplate  
0 2 1 3 1 0 0 2 1 0 0.350485 10/10 NonOverlappingTemplate  
0 0 0 3 2 0 2 0 1 2 0.213309 10/10 NonOverlappingTemplate  
1 0 0 0 1 1 2 1 2 2 0.739918 10/10 NonOverlappingTemplate  
2 0 1 1 2 1 2 0 1 0 0.739918 10/10 NonOverlappingTemplate  
0 1 0 0 3 1 4 1 0 0 0.035174 10/10 NonOverlappingTemplate  
1 0 0 1 2 2 1 1 2 0 0.739918 10/10 NonOverlappingTemplate  
1 0 1 1 0 1 3 2 1 0 0.534146 10/10 NonOverlappingTemplate  
0 0 2 0 1 2 1 1 0 3 0.350485 10/10 NonOverlappingTemplate  
2 0 0 2 2 1 0 1 0 2 0.534146 10/10 NonOverlappingTemplate  
1 2 2 0 0 0 0 1 3 1 0.350485 9/10 NonOverlappingTemplate  
0 1 0 3 1 2 0 2 1 0 0.350485 10/10 NonOverlappingTemplate  
0 1 0 1 2 0 2 1 1 2 0.739918 10/10 NonOverlappingTemplate  
1 0 0 3 1 1 1 1 2 0 0.534146 10/10 NonOverlappingTemplate  
0 0 2 2 2 0 1 2 1 0 0.534146 10/10 NonOverlappingTemplate  
1 2 0 1 1 1 1 2 1 0 0.911413 10/10 NonOverlappingTemplate  
0 1 0 4 3 0 0 2 0 0 0.017912 10/10 NonOverlappingTemplate  
1 1 2 0 1 3 1 1 0 0 0.534146 10/10 NonOverlappingTemplate  
2 1 1 2 2 1 0 1 0 0 0.739918 10/10 NonOverlappingTemplate  
0 1 1 0 2 1 2 0 2 1 0.739918 10/10 NonOverlappingTemplate  
5 1 0 1 0 0 0 1 2 0 0.008879 9/10 NonOverlappingTemplate  
0 2 1 1 1 1 2 1 1 0 0.911413 10/10 NonOverlappingTemplate  
1 1 1 2 0 0 3 0 1 1 0.534146 10/10 NonOverlappingTemplate

1 1 3 0 1 2 1 0 1 0 0.534146 10/10 NonOverlappingTemplate  
0 1 0 1 2 0 3 1 1 1 0.534146 10/10 NonOverlappingTemplate  
1 1 0 3 1 0 1 1 0 2 0.534146 10/10 NonOverlappingTemplate  
1 0 0 0 2 3 0 1 1 2 0.350485 10/10 NonOverlappingTemplate  
1 0 2 1 2 0 1 1 0 2 0.739918 9/10 NonOverlappingTemplate  
2 0 2 1 1 0 1 2 1 0 0.739918 9/10 NonOverlappingTemplate  
1 1 1 0 1 3 0 1 1 1 0.739918 9/10 NonOverlappingTemplate  
0 1 1 0 0 2 2 0 1 3 0.350485 10/10 NonOverlappingTemplate  
0 2 2 0 1 0 0 2 2 1 0.534146 10/10 NonOverlappingTemplate  
1 0 0 2 0 1 3 2 1 0 0.350485 10/10 NonOverlappingTemplate  
1 1 0 0 2 1 2 1 1 1 0.911413 10/10 NonOverlappingTemplate  
2 0 1 0 0 2 0 2 2 1 0.534146 10/10 NonOverlappingTemplate  
1 0 1 0 3 3 0 1 0 1 0.213309 10/10 NonOverlappingTemplate  
1 4 1 1 0 1 0 0 2 0 0.122325 9/10 NonOverlappingTemplate  
1 1 1 1 1 1 0 2 1 1 0.991468 10/10 NonOverlappingTemplate  
2 0 1 2 0 2 0 2 1 0 0.534146 10/10 NonOverlappingTemplate  
3 2 1 1 0 1 1 1 0 0 0.534146 10/10 NonOverlappingTemplate  
0 0 2 1 0 2 1 0 3 1 0.350485 10/10 NonOverlappingTemplate  
1 1 1 2 0 1 2 1 0 1 0.911413 9/10 NonOverlappingTemplate  
0 1 2 2 2 2 0 0 0 1 0.534146 10/10 NonOverlappingTemplate  
1 0 1 0 1 2 0 0 3 2 0.350485 10/10 NonOverlappingTemplate  
2 2 0 0 0 0 1 2 1 2 0.534146 10/10 NonOverlappingTemplate  
1 2 0 4 0 0 1 1 1 0 0.122325 10/10 NonOverlappingTemplate  
1 0 1 2 1 1 1 1 0 2 0.911413 9/10 NonOverlappingTemplate  
2 1 1 0 0 0 0 2 2 2 0.534146 10/10 NonOverlappingTemplate  
0 1 0 1 3 3 1 0 0 1 0.213309 10/10 NonOverlappingTemplate  
2 1 0 2 0 0 1 2 2 0 0.534146 10/10 NonOverlappingTemplate  
0 0 1 3 2 0 0 0 2 2 0.213309 10/10 NonOverlappingTemplate  
1 1 2 1 0 1 0 2 0 2 0.739918 10/10 NonOverlappingTemplate  
0 1 0 2 1 3 1 1 1 0 0.534146 10/10 NonOverlappingTemplate  
1 0 0 3 1 0 2 1 2 0 0.350485 10/10 NonOverlappingTemplate  
1 0 1 2 0 2 0 2 1 1 0.739918 10/10 NonOverlappingTemplate  
2 3 1 1 2 0 0 0 1 0 0.350485 10/10 NonOverlappingTemplate  
0 1 0 0 2 1 0 0 1 5 0.008879 10/10 NonOverlappingTemplate  
2 0 1 0 2 0 1 1 1 2 0.739918 10/10 NonOverlappingTemplate  
2 1 0 3 0 1 0 0 2 1 0.350485 10/10 NonOverlappingTemplate  
1 0 1 0 3 2 0 1 0 2 0.350485 10/10 NonOverlappingTemplate  
2 1 1 1 1 2 1 0 1 0 0.911413 10/10 NonOverlappingTemplate  
1 1 2 0 1 1 1 1 0 2 0.911413 10/10 NonOverlappingTemplate

2 1 0 0 1 3 1 2 0 0 0.350485 10/10 NonOverlappingTemplate  
2 0 3 0 1 1 1 0 0 2 0.350485 10/10 NonOverlappingTemplate  
0 2 3 1 0 1 2 0 1 0 0.350485 10/10 NonOverlappingTemplate  
0 2 0 0 2 2 2 0 1 1 0.534146 10/10 NonOverlappingTemplate  
0 1 2 1 1 1 0 2 0 2 0.739918 10/10 NonOverlappingTemplate  
1 1 1 2 1 2 1 0 1 0 0.911413 10/10 NonOverlappingTemplate  
0 0 1 1 2 1 1 1 1 2 0.911413 10/10 NonOverlappingTemplate  
3 1 0 1 0 0 2 2 0 1 0.350485 9/10 NonOverlappingTemplate  
1 0 2 0 3 0 0 1 1 2 0.350485 10/10 NonOverlappingTemplate  
0 0 1 1 0 2 2 2 0 2 0.534146 10/10 NonOverlappingTemplate  
2 1 1 0 0 1 1 0 2 2 0.739918 10/10 NonOverlappingTemplate  
1 0 1 2 0 1 0 2 2 1 0.739918 10/10 NonOverlappingTemplate  
0 1 3 0 1 0 0 2 2 1 0.350485 10/10 NonOverlappingTemplate  
1 0 0 0 2 3 0 3 1 0 0.122325 9/10 NonOverlappingTemplate  
1 0 0 1 3 0 3 1 1 0 0.213309 10/10 NonOverlappingTemplate  
1 0 0 1 1 0 2 0 0 5 0.008879 10/10 NonOverlappingTemplate  
1 1 1 2 1 0 1 1 0 2 0.911413 10/10 NonOverlappingTemplate  
0 0 3 1 2 0 3 0 0 1 0.122325 10/10 NonOverlappingTemplate  
3 0 1 4 0 1 0 0 1 0 0.035174 10/10 NonOverlappingTemplate  
3 1 0 0 0 1 3 2 0 0 0.122325 10/10 NonOverlappingTemplate  
0 1 4 3 1 0 1 0 0 0 0.035174 10/10 NonOverlappingTemplate  
3 1 0 3 1 0 0 0 1 1 0.213309 10/10 NonOverlappingTemplate  
1 0 1 1 1 1 3 2 0 0 0.534146 10/10 NonOverlappingTemplate  
1 1 1 1 0 1 1 1 1 2 0.991468 10/10 NonOverlappingTemplate  
0 0 4 1 1 0 1 2 1 0 0.122325 10/10 NonOverlappingTemplate  
0 4 2 0 0 3 0 0 1 0 0.017912 10/10 NonOverlappingTemplate  
1 0 2 1 2 1 0 1 1 1 0.911413 9/10 NonOverlappingTemplate  
1 2 2 2 0 0 0 3 0 0 0.213309 10/10 NonOverlappingTemplate  
1 0 0 0 2 0 1 1 0 5 0.008879 10/10 NonOverlappingTemplate  
0 0 0 1 2 1 1 1 1 3 0.534146 10/10 NonOverlappingTemplate  
1 0 0 2 1 1 2 2 0 1 0.739918 9/10 NonOverlappingTemplate  
1 0 1 1 1 2 2 1 1 0 0.911413 10/10 NonOverlappingTemplate  
3 1 2 0 0 1 1 0 2 0 0.350485 10/10 NonOverlappingTemplate  
2 1 1 0 0 1 0 1 2 2 0.739918 10/10 NonOverlappingTemplate  
0 0 1 0 0 1 2 2 2 2 0.534146 10/10 NonOverlappingTemplate  
0 0 3 1 1 0 2 1 1 1 0.534146 10/10 NonOverlappingTemplate  
1 3 0 3 0 0 1 1 1 0 0.213309 10/10 NonOverlappingTemplate  
0 1 3 0 0 1 2 2 0 1 0.350485 10/10 NonOverlappingTemplate  
2 1 2 0 2 0 0 1 0 2 0.534146 10/10 NonOverlappingTemplate

3 0 1 1 1 0 1 1 0 2 0.534146 10/10 NonOverlappingTemplate  
2 1 1 1 0 1 1 2 1 0 0.911413 10/10 NonOverlappingTemplate  
1 2 0 1 1 2 1 1 1 0 0.911413 10/10 NonOverlappingTemplate  
0 1 1 1 2 2 1 0 1 1 0.911413 10/10 NonOverlappingTemplate  
1 2 1 0 2 1 0 0 1 2 0.739918 10/10 NonOverlappingTemplate  
2 1 2 0 1 2 1 0 1 0 0.739918 10/10 NonOverlappingTemplate  
2 1 1 2 1 0 1 0 2 0 0.739918 10/10 NonOverlappingTemplate  
2 0 2 1 0 1 2 0 2 0 0.534146 10/10 NonOverlappingTemplate  
2 0 2 2 0 1 1 1 1 0 0.739918 10/10 NonOverlappingTemplate  
3 2 0 0 0 1 1 1 0 2 0.350485 10/10 NonOverlappingTemplate  
0 0 2 2 2 0 1 2 1 0 0.534146 10/10 NonOverlappingTemplate  
1 0 0 2 1 0 2 2 1 1 0.739918 10/10 NonOverlappingTemplate  
1 0 2 1 0 2 1 0 1 2 0.739918 10/10 NonOverlappingTemplate  
2 0 2 2 0 1 0 1 2 0 0.534146 10/10 NonOverlappingTemplate  
0 0 0 1 3 0 1 2 3 0 0.122325 10/10 NonOverlappingTemplate  
1 0 0 2 0 1 1 0 1 4 0.122325 10/10 NonOverlappingTemplate  
1 0 1 1 1 0 3 2 0 1 0.534146 10/10 NonOverlappingTemplate  
0 0 2 1 4 0 0 1 0 2 0.066882 10/10 NonOverlappingTemplate  
2 0 1 0 1 1 1 2 1 1 0.911413 10/10 NonOverlappingTemplate  
1 1 0 0 2 2 1 0 3 0 0.350485 10/10 NonOverlappingTemplate  
1 1 2 2 1 0 1 1 0 1 0.911413 10/10 NonOverlappingTemplate  
3 0 2 0 1 2 1 0 0 1 0.350485 9/10 NonOverlappingTemplate  
0 2 0 3 0 0 2 0 2 1 0.213309 10/10 NonOverlappingTemplate  
1 2 1 0 0 1 1 3 1 0 0.534146 10/10 NonOverlappingTemplate  
0 0 1 2 2 1 0 1 2 1 0.739918 10/10 NonOverlappingTemplate  
0 1 0 1 3 1 1 1 1 1 0.739918 10/10 NonOverlappingTemplate  
1 0 2 1 2 0 1 2 1 0 0.739918 9/10 NonOverlappingTemplate  
1 0 2 1 2 0 2 0 0 2 0.534146 10/10 NonOverlappingTemplate  
3 1 2 0 0 2 2 0 0 0 0.213309 10/10 NonOverlappingTemplate  
0 2 3 1 0 2 0 1 0 1 0.350485 10/10 NonOverlappingTemplate  
0 2 0 1 1 2 2 0 0 2 0.534146 10/10 NonOverlappingTemplate  
1 1 1 1 0 1 2 1 2 0 0.911413 10/10 NonOverlappingTemplate  
0 1 1 1 0 2 0 2 2 1 0.739918 10/10 NonOverlappingTemplate  
2 0 0 3 0 0 1 2 2 0 0.213309 10/10 NonOverlappingTemplate  
1 2 0 1 0 2 1 1 2 0 0.739918 10/10 NonOverlappingTemplate  
0 0 2 1 0 1 1 2 1 2 0.739918 10/10 NonOverlappingTemplate  
2 0 0 0 1 1 1 2 2 1 0.739918 10/10 NonOverlappingTemplate  
0 2 3 1 0 1 2 0 1 0 0.350485 10/10 NonOverlappingTemplate  
0 1 0 4 1 1 0 1 2 0 0.122325 10/10 OverlappingTemplate

0 1 3 1 1 1 0 1 1 1 0.739918 10/10 Universal  
 1 1 0 1 1 4 0 1 0 1 0.213309 10/10 ApproximateEntropy  
 0 1 1 1 0 1 1 0 1 1 ---- 7/7 RandomExcursions  
 0 1 1 1 0 1 1 0 2 0 ---- 7/7 RandomExcursions  
 2 0 0 0 0 1 2 1 1 0 ---- 7/7 RandomExcursions  
 1 1 1 1 0 0 0 1 1 1 ---- 6/7 RandomExcursions  
 1 2 3 0 1 0 0 0 0 0 ---- 7/7 RandomExcursions  
 1 0 1 1 1 1 1 0 1 0 ---- 6/7 RandomExcursions  
 1 0 0 2 0 1 0 0 1 2 ---- 7/7 RandomExcursions  
 0 1 1 0 0 0 1 0 2 2 ---- 7/7 RandomExcursions  
 1 2 1 0 1 1 0 0 0 1 ---- 7/7 RandomExcursionsVariant  
 1 1 2 1 1 0 0 0 0 1 ---- 6/7 RandomExcursionsVariant  
 1 1 2 2 0 0 0 0 0 1 ---- 6/7 RandomExcursionsVariant  
 1 2 2 0 0 1 0 0 0 1 ---- 6/7 RandomExcursionsVariant  
 2 2 0 1 1 0 0 1 0 0 ---- 7/7 RandomExcursionsVariant  
 2 2 0 0 1 1 0 1 0 0 ---- 7/7 RandomExcursionsVariant  
 0 3 1 1 0 1 1 0 0 0 ---- 7/7 RandomExcursionsVariant  
 1 1 1 1 2 0 1 0 0 0 ---- 7/7 RandomExcursionsVariant  
 0 2 0 1 0 1 0 1 1 1 ---- 7/7 RandomExcursionsVariant  
 0 1 0 1 1 0 2 0 0 2 ---- 7/7 RandomExcursionsVariant  
 0 0 0 1 1 0 1 1 1 2 ---- 7/7 RandomExcursionsVariant  
 0 0 0 0 1 0 3 2 0 1 ---- 7/7 RandomExcursionsVariant  
 0 0 0 1 0 2 0 1 1 2 ---- 7/7 RandomExcursionsVariant  
 0 0 0 1 1 1 3 0 0 1 ---- 7/7 RandomExcursionsVariant  
 1 0 0 1 2 0 1 0 2 0 ---- 7/7 RandomExcursionsVariant  
 2 0 1 0 1 0 1 0 0 2 ---- 7/7 RandomExcursionsVariant  
 2 0 1 1 0 1 0 1 0 1 ---- 7/7 RandomExcursionsVariant  
 1 1 1 1 0 0 2 0 1 0 ---- 7/7 RandomExcursionsVariant  
 0 2 0 1 2 1 1 1 1 1 0.911413 10/10 Serial  
 1 0 2 2 1 0 0 1 0 3 0.350485 10/10 Serial  
 0 1 0 2 1 1 0 3 1 1 0.534146 10/10 LinearComplexity

-----  
 The minimum pass rate for each statistical test with the exception of the random excursion (variant) test is approximately = 8 for a sample size = 10 binary sequences.

The minimum pass rate for the random excursion (variant) test is approximately = 6 for a sample size = 7 binary sequences.

For further guidelines construct a probability table using the MAPLE program provided in the addendum section of the documentation.

-----  
-----  
FILE = neurohash.bin ALPHA = 0.0100  
-----

-----  
BITSREAD = 1000000 0s = 499954 1s = 500046  
BITSREAD = 1000000 0s = 499653 1s = 500347  
BITSREAD = 1000000 0s = 499511 1s = 500489  
BITSREAD = 1000000 0s = 499354 1s = 500646  
BITSREAD = 1000000 0s = 499513 1s = 500487  
BITSREAD = 1000000 0s = 499913 1s = 500087  
BITSREAD = 1000000 0s = 499451 1s = 500549  
BITSREAD = 1000000 0s = 500273 1s = 499727  
BITSREAD = 1000000 0s = 500686 1s = 499314  
BITSREAD = 1000000 0s = 500258 1s = 499742

#### **ЛИТЕРАТУРА**

1. NIST SP 800-22: A Statistical Test Suite for Random and Pseudorandom Number Generators for Cryptographic Applications.
2. FIPS PUB 180-4: Secure Hash Standard (SHS).
3. OpenSSL Cryptography and SSL/TLS Toolkit, Version 3.0.19.
4. Intel OpenCL SDK Documentation.